

А. Х. МИАЦАКАНЯН, Н. В. РЕВАЗОВА, Э. Х. ХУРШУДЯН

## МИНЕРАЛЬНЫЕ НОВООБРАЗОВАНИЯ В ВЕРХНЕЮОРСКИХ—МЕЛОВЫХ ВУЛКАНИЧЕСКИХ ПОРОДАХ КАФАНСКОГО АНТИКЛИНОРИЯ

Кафанский антиклинорий сложен в осевой части вулканическими толщами нижнего и верхнего байоса; далее со значительным перерывом следуют вулканические и вулканогенно-осадочные образования верхнего окефорда-кимериджа, титона-среднего валанжина, готерива и баррема, широко развитые на обоих крыльях структуры. В крайней северо-западной части Кафанского антиклинория обнажаются вулканогенные толщи верхнего апта и сантонса. При изучении литологических разрезов и петрографического состава верхнеюорских—меловых вулканических накоплений этого региона, проведенном одним из авторов (Миацакян, 1969), был выявлен интересный комплекс минеральных новообразований поствулканической гидротермальной стадии. Результатам детального изучения химического состава, оптических свойств, термических и рентгенометрических исследований наиболее характерных минералов этой группы посвящена данная статья. Изученные минералы могут быть сгруппированы следующим образом:

- 1) группа палагонита;
- 2) группа хлорита (пеннин, диабантит);
- 3) группа слюды (селадонит);
- 4) группа эпидота (эпидот, пумпеллит);
- 5) группа неклассифицированных силикатов (препит);
- 6) группа цеолитов.

Последняя группа специально описывается в другой статье данного сборника.

### Собственно палагонит

Этот минерал представляет, как известно, аморфное или слабоаннотропное гелеподобное вещество с резко колеблющимся химическим составом. Он широко распространен в базальтах и андезито-базальтах верхнеоксфорд-кимериджской и титон—средневаланжинской вулканических серий. Характер выделения палагонитового вещества в базальтах, долеритах и андезито-базальтах разнообразен. Отметим следующие типы:

1) Аморфный, слабовупреломляющий палагонит с чешуйчатыми или волокнисто-пластиначатыми агрегатами иддингита выполняет псевдоморфозы по оливину. Окраска его буро-зеленая, буроватая;  $N=1,600$ .

2) Палагонитовое вещество образует неправильные или округлые выделения и выполняет интерстиции между кристаллическими составными в основной массе базальтов и долеритов. При этом форма выде-

лений подчинена контурам окружающего кристаллического агрегата, что позволяет рассматривать их в качестве позднемагматических гидратированных обособлений. Цвет палагонита — зеленовато-желтый, зеленоватый; показатель преломления  $N=1,573-1,582$ . Эти обособления имеют обычно концентрически-зональное строение, обусловленное наличием аморфной или слабораскристаллизованной внешней оторочки и чешуйчатого агрегата хлорита — в центре.

3) Палагонит выполняет миндалины, прожилки в лавах и мелкие гнезда в цементе брекчий. Окраска его светлая, зеленовато-желтая;  $N=1,570-1,582$ . Эти выделения также имеют концентрически-зональное строение и состоят из чередующихся в различной последовательности аморфного палагонита, хлорита, селадонита и различных цеолитов. Указанная ассоциация и морфология этих выделений палагонита позволяет рассматривать его как гидротермальный продукт. С другой стороны, сходство оптических свойств последних двух типов палагонита может указывать на переходы от позднемагматического этапа непосредственно к низкотемпературному гидротермальному.

### Пеннин

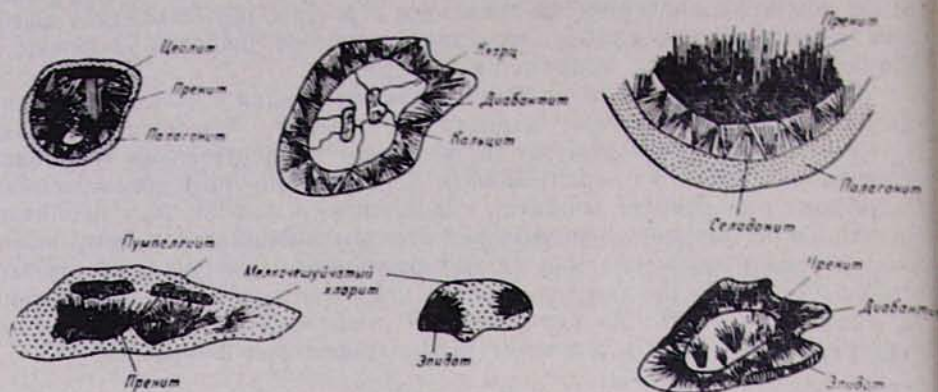
Пеннин является одним из самых распространенных минералов группы хлорита и встречается почти во всех вулканических породах региона, только в различных ассоциациях. В базальтах и андезито-базальтах верхнего оксфорда — среднего валанжина пеннин ассоциирует в миндаликах с карбонатом и селадонитом, а также с цеолитами. В тех же породах мелкоагрегатные выделения этого минерала развиваются по плагиоклазу. В породах верхнего апта пеннин образует часто мономинеральные миндалины; для пород сантонской серии характерно нахождение пеннина в миндаликах совместно с альбитом, эпидотом и карбонатом. Пеннин образует бледно-зеленоватые, слабоплеохроирующие чешуйчатые, листоватые агрегаты с аномально низкими (синими, фиолетовыми) интерференционными цветами. Удлинение чешуек отрицательное.  $Ng' = Nm = 1,573-1,577$ ;  $Nr' = 1,570-1,572$ .

### Диабантит

Этот минерал представляет очень характерный для основных и средних пород верхнего оксфорда — среднего валанжина хлорит, ассоциирующий с палагонитом, селадонитом, пренитом, кальцитом и цеолитами (фиг. 1). Возрастные соотношения диабантита с перечисленными минералами указывают на его более раннее выделение относительно цеолитов, карбоната и более позднее — относительно палагонита и селадонита. Изредка встречается диабантит также в андезитах верхнего апта; отсутствует в породах сантонса.

В миндаликах диабантит образует темно-буровато-зеленые розетковидные агрегаты с жирным блеском и глубокими бороздами спайности. В иммерсии и в шлифах видны пластинчато-чешуйчатые агрегаты с постепенными переходами к тонкозернистым агрегатам и к изотропному палагониту, продуктом раскристаллизации которого он нередко является. В хорошо развитых крупных чешуйках плеохроизм сильный: по  $Ng$  — темный, буро-зеленый, оливково-зеленый, по  $Nr$  — бледно-зеленовато-желтый. Тонкоагрегатные участки плеохроируют слабо. Двупреломление в зависимости от степени раскристаллизации и размера чешуек колеблется от 0,005 до 0,024. Погасание относительно трещин спайности прямое, удлинение чешуек положительное.  $Ng = 1,623$ ,  $Nm =$

=1,620, Np'=1,608 (обр. 1102а). В некоторых сравнительно слабо плеохроирующих разностях показатели преломления поникаются до Ng'=1,590, Nm=1,579, Np'=1,573 (обр. 813с).



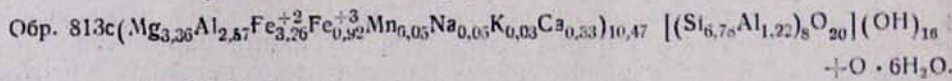
Фиг. 1. Состав миндалинов в манделштейновых андезитах верхнего оксфорда—кимериджа.

Таблица I

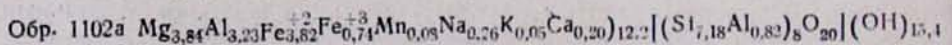
Химический состав диабантитов

Оксиды	Образец 813с		Образец 1102а	
	весовые %	молекулярные количества	весовые %	молекулярные количества
SiO <sub>2</sub>	33,67	561	33,67	561
Al <sub>2</sub> O <sub>3</sub>	16,01	157	16,11	158
Fe <sub>2</sub> O <sub>3</sub>	6,06	38	4,67	29
FeO	19,38	270	23,30	298
TiO <sub>2</sub>	0,09	1	0,16	3
CaO	1,45	27	0,87	16
MgO	11,21	278	12,08	300
MnO	0,33	4	0,42	6
Na <sub>2</sub> O	0,14	2	0,62	10
K <sub>2</sub> O	0,07	1	0,15	2
H <sub>2</sub> O <sup>+</sup>	10,62	68	10,54	600
H <sub>2</sub> O <sup>-</sup>	1,86	8	0,24	
Σ	100,89		100,93	

Кристаллохимические формулы в пересчете на 36(0):



$$\frac{Fe^{+2} + Fe^{+3}}{Fe^{+2} + Fe^{+3} + Mg} = 0,55; \quad Fe^{+2} + Fe^{+3} = 4,18$$



$$\frac{Fe^{+2} + Fe^{+3}}{Fe^{+2} + Fe^{+3} + Mg} = 0,54; \quad Fe^{+2} + Fe^{+3} = 4,56$$

Обр. 813с—диабантит из манделштейновых андезито-базальтов титона—среднего валанжина.

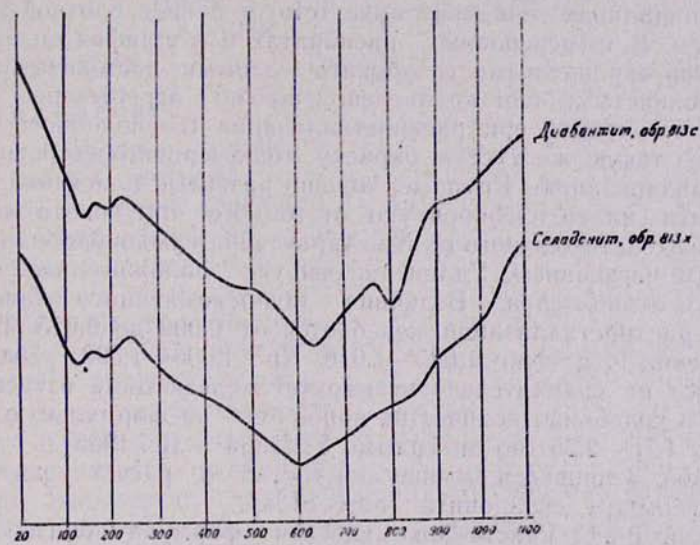
Обр. 1102а—диабантит из андезито-базальтов верхнего оксфорда—кимериджа.

Химический состав и расчет кристаллохимических формул двух  
образцов диабантита приведены в табл. 1; аналитик З. Ш. Гаспарян.

Рассмотрение рассчитанных кристаллохимических формул диабантита указывает на их близость к теоретическому составу. В обр. 813с отмечается некоторый недостаток катионов; в обр. 1102а—недостаток гидроксильной группы ( $\text{OH}$ ). В обоих случаях в составе катионов устанавливаются изоморфно входящие в решетку ионы натрия, калия, тальция, марганца и титана. На классификационной диаграмме Хея (У. Дир и др., 1965) в координатах  $\text{Si} - \frac{\text{Fe}^{+2} + \text{Fe}^{+3}}{\text{Fe}^{+2} + \text{Fe}^{+3} + \text{Mg}} - (\text{Fe}^{+2} - \text{Fe}^{+3})$

оба изученных хлорита попадают в поле диабантита. По содержанию окисного железа более 4% оба проанализированных диабантита должны относиться к окисленным хлоритам. Однако, поскольку их формулы близко отвечают нормальной формуле хлорита, можно предположить, что окисное железо в них имеет первичный характер и его проявление в структуре компенсируется замещением  $\text{Si}$  на  $\text{Al}$ . Так интерпретируют составы некоторых обогащенных  $\text{Fe}_2\text{O}_3$  хлоритов У. Дир, Р. Хаун и Дж. Зусман (1965). Вместе с тем, недостаток ( $\text{OH}$ ) в обр. 1102а может быть объяснен замещением гидроксила на  $\text{O}^{+2}$  при вторичном, наложенном окислении части  $\text{FeO}$ .

Дифференциальная кривая нагревания диабантита из пород титан-среднего валанжина (обр. 813с) приведена на фиг. 2, где отчетливо



Фиг. 2. Дифференциально-термические кривые диабантита и селадонита (записаны С. О. Ачикгезяном).

значен низкотемпературный эндотермический эффект ( $120^\circ, 200^\circ$ ), отвечающий двум этапам выделения адсорбционной воды. Сильный эндотермический эффект при  $620-630^\circ$ , характерный для железисто-магнетитовых хлоритов, отвечает дегидратации так называемого «брюситового» слоя, а при  $800^\circ$ —дегидратации «талькового» слоя. Экзотермический подъем при  $900^\circ$  отвечает уже распаду кристаллической решетки минерала.

**Таблица 2**  
**Рентгенометрическая характеристика**  
**диабантита**

Образец	1102a	Образец 813х					
		№ линий	J	d/a н	№ линий	J	d/a н
1	6	14.0	1	36	15.05		
2	10	7.10	2	5	7.992		
3	6	4.74	3	8	7.31		
4	8	3.57	4	4	5.306		
5	3	2.85	5	6	4.83		
6	2	2.595	6	5	3.61		
7	3	2.266	7	3	3.170		
8	1	2.15	8	4	2.904		
9	1	2.01					
10	1	1.79					
11	3	1.53					
12	3	1.42					
13	3	1.39					

В табл. 2 приведены порошковые граммы описываемых образцов диабантита, полученные в лаборатории рентгеноструктурного анализа ИГН АН Арм. ССР. Характерные интенсивные рефлексы 7.10(10), 4.74(6); 3.57(8); 1.53(3); 1.42(3).

Спектральным анализом в описываемых диабантитах установлены элементы-примеси—Ni (0,01%), С (0,01%), V (0,01%), Cr (0,0003%), Cu (0,003%), Ga (0,003%), Li (0,01%), Sr (0,01%), Be (0,0001%).

### Селадонит

Селадонит широко распространен в базальтах, андезито-базальтах, андезитах верхнего оксфорда-среднего валанжина и слагает наряду

с палагонитом, диабантитом, пренитом, пумпеллитом и другими минералами миндалины, прожилки и мелкие гнезда. В указанных породах образует, кроме того, полные или частичные псевдоморфозы по оливину и гиперстену. В небольших количествах встречается селадонит также в псевдоморфозах и миндалинах андезитов верхнего апта.

В миндалинах селадонит присутствует в виде плотной темно-зеленой массы. В иммерсионных препаратах и в шлифах он представлен интенсивно окрашенными голубовато-зелеными, листоватыми, пластинчато-волокнистыми или крупночешуйчатыми агрегатами. Последние образуются нередко при раскристаллизации гелеподобного вещества имеющего такую же густую окраску, тонкозернистое строение и агрегатную поляризацию. Крупные, хорошо развитые пластинки и чешуйки селадонита сильно плеохроируют от темного голубовато-зеленого по Ng до желтовато-зеленого по Nr. Характерна слюдоподобная спайность с прямым погасанием. Удлинение чешуек положительное. Минерал оптически отрицателен. Величина двупреломления в зависимости от степени раскристаллизации колеблется от 0,009 до 0,025. Показатели преломления— $Ng' = Nm = 1,625 - 1,616$ ,  $Nr' = 1,606 - 1,598$ . Эти значения указывают на сравнительно невысокую железистость изученных селадонитов и колебания количества ионов  $Fe^{+3}$  на формульную единицу в пределах 1,75—2,25 (по диаграмме У. Дири и др., 1965).

В табл. 3 приведен химический состав и расчет кристаллохимической формулы селадонита (обр. 813х).

Рассчитанная кристаллохимическая формула близко отвечает теоретической формуле глауконита (и селадонита). Отмечается только небольшой недостаток катионов группы железа и магния и сравнительно высокая роль алюминия в четвертной координации.

Дифференциально-термическая кривая селадонита (фиг. 2) также обнаруживает близость к эталонной. На ней видны отчетливо два этапа дегидратации—при  $120^\circ$  (и  $180^\circ$ ) и при  $600^\circ$ , отвечающие соответственно потере адсорбционной и конституционной воды. Экзотермический подъем при  $900$  и  $1000^\circ$  соответствует распаду решетки.

Рентгеноструктурные исследования (табл. 4) дали порошковые граммы очень близкую к эталонному селадониту по РОМ В. И. Михеева (1957). Характерными являются интенсивные линии 10.0(8), 4.58(8), 3.65(7), 3.31(8), 3.07(6), 2.57(9), 1.509(8).

Таблица 3

Химический состав селадонита из мандельштейновых андезито-базальтов титона-среднего валанжина (обр. 813х)

Оксиды	Весовые %	Молекулярные количества	Кристаллохимическая формула в пересчете на 24 (O)
SiO <sub>2</sub>	47,97	799	(K <sub>1,11</sub> Na <sub>0,02</sub> Ca <sub>0,24</sub> ) <sub>1,37</sub> (Fe <sub>1,29</sub> <sup>+3</sup> Fe <sub>0,36</sub> <sup>+2</sup> )
Al <sub>2</sub> O <sub>3</sub>	14,69	144	(Mg <sub>1,23</sub> Al <sub>0,87</sub> ) <sub>3,75</sub> [(Si <sub>6,52</sub> Al <sub>1,48</sub> ) <sub>8</sub> O <sub>20</sub> ]
Fe <sub>2</sub> O <sub>3</sub>	12,60	79	(OH) <sub>1</sub> · 2,15 H <sub>2</sub> O
FeO	3,22	44	
TiO <sub>2</sub>	0,02	—	
CaO	1,70	30	
MgO	6,07	151	
MnO	0,20	3	
Na <sub>2</sub> O	0,04	1	
K <sub>2</sub> O	6,40	68	
H <sub>2</sub> O+	6,22	377	
H <sub>2</sub> O-	0,58		
P <sub>2</sub> O <sub>5</sub>	0,03		
S	0,11		
Σ	99,85		

В составе элементов-примесей в селадоните устанавливаются Ni, Co (0,01%), V (0,03%), Cu (0,001%), Ga (0,003%), Sr (0,01%), Li (0,01%), Be (0,0001%).

### Иддингсит

Под этим названием описывается слюдоподобный минерал, слагающий в породах титона—среднего валанжина псевдоморфозы по оливину, большей частью гомоевые. Исследования последних лет (Wilshire, 1958, Brown, Stephens, 1959, У. Дир и др., 1965) показали, что «иддингсит» преимущественно состоит из минералов группы монтмориллонита и хлорита, к которым обычно присоединяется гетит. Оптическая же однородность этого минерала обусловлена нередко однородной ориентировкой данных минералов в пределах псевдоморфозы по оливину, причем ориентировка эта полностью или частично определяется унаследованным кислородным каркасом первичного зерна оливина.

В изученных породах иддингсит образует цельные монокристаллы, удлинение которых совпадает с вертикальной осью замещаемого оливина. Цвет иддингсита варьирует от красновато-бурого до коричневого, буро-зеленого. Плеохроизм сильный по биотитовой схеме. Погасание прямое. Показатель преломления  $N_g' = N_m$  изменчив (1,722—1,682); максимальные значения установлены для наиболее интенсивно окрашенных разностей.

### Эпидот

Это сравнительно редкий для изученных верхнеюрских—меловых вулканических пород вторичный минерал. Чаще всего он встречается

Таблица 4  
Рентгенометрическая характеристика селадонита (813х)

№ линий	J	$\frac{d}{a}$
1	8	10
2	8	4,58
3	5	4,17
4	7	3,65
5	8	3,31
6	6	3,07
7	5	2,67
8	9	2,57
9	7	2,38
10	5	1,98
11	4	1,65
12	7	1,509
13	3	1,32

в миндалинах и как продукт замещения плагиоклаза и темноцветных в андезито-базальтах и андезитах сантонской серии. Из других минералов здесь с эпидотом ассоциируют альбит, пенин, халцедон. Крайне редко эпидот входит в состав миндалин в андезитах и андезито-базальтах верхнего окефорда, среднего валанжина и, в частности, хуступ-чимянской свиты. Образует ярко окрашенные желтые, зеленовато-желтые призматические кристаллы, собранные нередко в лучистые, спиральные агрегаты; в сантонских породах присутствует в сплошных тонкозернистых массах. Плеохроизм сильный: по Ng—лимонно-желтый, желтовато-зеленый, по Np—светло-желтый, почти бесцветный. Показатели преломления для эпидота из андезитов хуступ-чимянской свиты составляют:  $Ng' = 1,785$ ;  $Np' = 1,748$ ; для эпидота из сантонских андезито-базальтов— $Ng' = 1,769$ ,  $Np' = 1,730$ . Эти значения отвечают высокожелезистым разностям и содержанию молекулярных %  $Ca_2Fe^{+3}Si_2O_{12}$  ( $OH$ ) в пределах 34—35 и 29—32 соответственно (по диаграмме У. Дири и др., 1965).

### Пумпеллиит

Пумпеллиит в заметных количествах встречается в андезито-базальтах и брекчиях верхнеоксфорд-кимериджской серии (Норашеникский разрез). Очень редко он совместно с селадонитом замещает гиперстен в андезитах верхнего анти; в других породах изученных серий не отмечается. В эфузивах верхнего окефорда-кимериджа пумпеллиит входит в состав миндалин, мелких гнезд, а также цементирует вместе с этими минералами обломки пород в литокластических туфах. Выделение его следует за пренитом (и селадонитом). Пумпеллиит образует окрашенные в темно-желтый цвет агрегаты неправильных лапчатых зерен; иногда видны радиально-лучистые, игольчатые формы. Характерны сильный плеохроизм от бесцветного, слабо-желтоватого по Np до темно-желтого, буровато-желтого по Ng и агрегатная поляризация с аномальными интерференционными цветами. Вдоль «лучистости» отдельных агрегатов видна спайность. Удлинение положительное. Показатели преломления— $Ng' = 1,718$ ,  $Np' = 1,694$ ;  $Ng' = 1,706$ ,  $Np' = 1,683$ . Они указывают на сравнительно высокую железистость описываемого пумпеллиита (количество атомов  $Fe^{+3} + Fe^{+2}$  на формульную единицу составляет 0,8—0,95 по диаграмме У. Дири и др., 1965).

Таблица 5  
Рентгенометрическая характеристика  
пумпеллиита (обр. 1162 г.)

№ линий	$\lambda$	$\frac{d}{n}$ <sup>a</sup>
1	2	7,2
2	2	5,7
3	3	4,36
4	6	3,75
5	10	2,898
6	4	2,445
7	2	2,198
8	2	2,05

Данные порошковые пумпеллиита из брекчий верхнего окефорда-кимериджа (обр. 1162 г.) приведены ниже. Характерные линии 7,2(2), 4,36(3), 3,75(6), 2,898(10) и 2,445(4) достаточно точно диагностируют минерал.

В составе элементов-примесей в пумпеллиите устанавливаются изоморфные к кальцию элементы—Sr (0,03%), Ba (0,001%), Y (0,001%), а также Cu (0,003%), Li (0,003%), Mn (0,03%), V (0,003%), Ga (0,001%).

### Пренит

Минерал является одним из широко распространенных в комплексе вторичных новообразований и встречается в миндалинах и гнездах

дах базальтов, андезито-базальтов и андезитов верхнего оксфорда-среднего валанжина и верхнего анта. Для пренита характерна ассоциация с пумпеллитом, селадонитом, диабантитом, значительно реже он обнаруживается совместно с цеолитами.

Пренит образует плотные зернистые массы белого, зеленовато-белого цвета. Под микроскопом имеет вид бесцветных радиально-лучистых, таблитчато-волокнистых или листоватых агрегатов с характерными высоким рельефом и сильным двупреломлением. В развитых чешуйчатых или таблитчатых индивидах удлинение положительное. Оптические свойства варьируют в небольших пределах. (+)2V составляет 67—69°; Ng'=1,637—1,632, Np'=1,623—1,616. Установлены следующие элементы-примеси: Fe ( $\approx$ 1%), Mn (0,03%), V (0,01%), Cu (0,003%), Ga (0,003—0,001%), Sr (0,01%), Ba (0,001%), Li (0,001%), Be (0,0001%).

#### ЛИТЕРАТУРА

- Дир У. А., Хаун Р. А., Зусман Дж. Породообразующие минералы, т. 3. М., Изд. «Мир», 1965.  
Михеев В. И. Рентгенометрический определитель минералов. М., 1957.  
Мирапакапян А. Х. Верхнеюрский-меловой вулканизм Кафанского антиклиниория. Тезисы III Всесоюзн. вулик. совещ., Львов, 1969.  
Brown G, Stephen J. A structural study of iddingsite from New South Wales, Australia; Am. Miner. № 44, 251, 1959.  
Willshier H. G. Alteration of olivines and orthopyroxenes in basic lavas and shallow intrusions. Amer. Miner., 120, v. 43, 1958.